# Monolytische Mechanismen zur Realisierung hochpräziser Bewegungen

M. Sc. Felix Harfensteller

Technische Universität Ilmenau

Institut für Maschinen- und Gerätekonstruktion (IMGK)

E-Mail: felix.harfensteller@tu-ilmenau.de

Hochschullehrer: Univ. Prof. Dr.-Ing. René Theska

**Betreuung:** M. Sc. Philipp Gräser

Dr.-Ing. Sebastian Linß



# **Gliederung**

- **Motivation und Anwendung** 1.
- Problemstellung der Konstruktion 2.
- Vorgehensweise zur Problemlösung 3.
- Synthese von Starrkörpermechanismen 4.
- **Gestaltung und Simulation eines 5**. nachgiebigen Mechanismus
- 6. Konstruktion eines Positioniersystems
- **Messtechnische Untersuchung 7.**
- **Ergebnisse und Zusammenfassung** 8.
- 9. **Ausblick**







Abb.: miniaturisierter XY-Tisch [1]



Abb.: Wäge-Einheit des Herstellers Sartorius AG [2]



#### **Vorteile nachgiebiger Mechanismen:**

- Spiel- und Reibungsfreiheit
- Verschleiß- und Wartungsfreiheit
- Funktionsintegration, Miniaturisierung von Bauteilen, etc.

22.09.16

Abb.: Lineartisch des Herstellers

Physik Instrumente (PI) [4]

### 2. Problemstellung der Konstruktion

#### Herausforderungen:

- Begrenzung des Bewegungsbereiches durch stoffgepaarte Gelenke
- Drehachsenverlagerung der Festkörpergelenke
- Neigung zu Schwingungen

#### Ziel:

- Konstruktion eines XY-Positioniersystems
  - Bewegungsbereich von jeweils ± 10 mm
  - geringste Führungsabweichungen
  - höchste Wiederholbarkeit
- Messtechnische Untersuchung
- Ableitung von Erkenntnissen für die Synthese

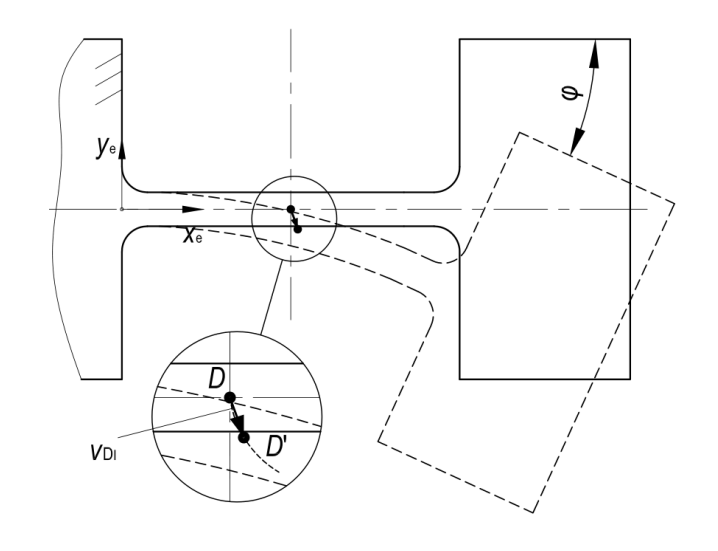
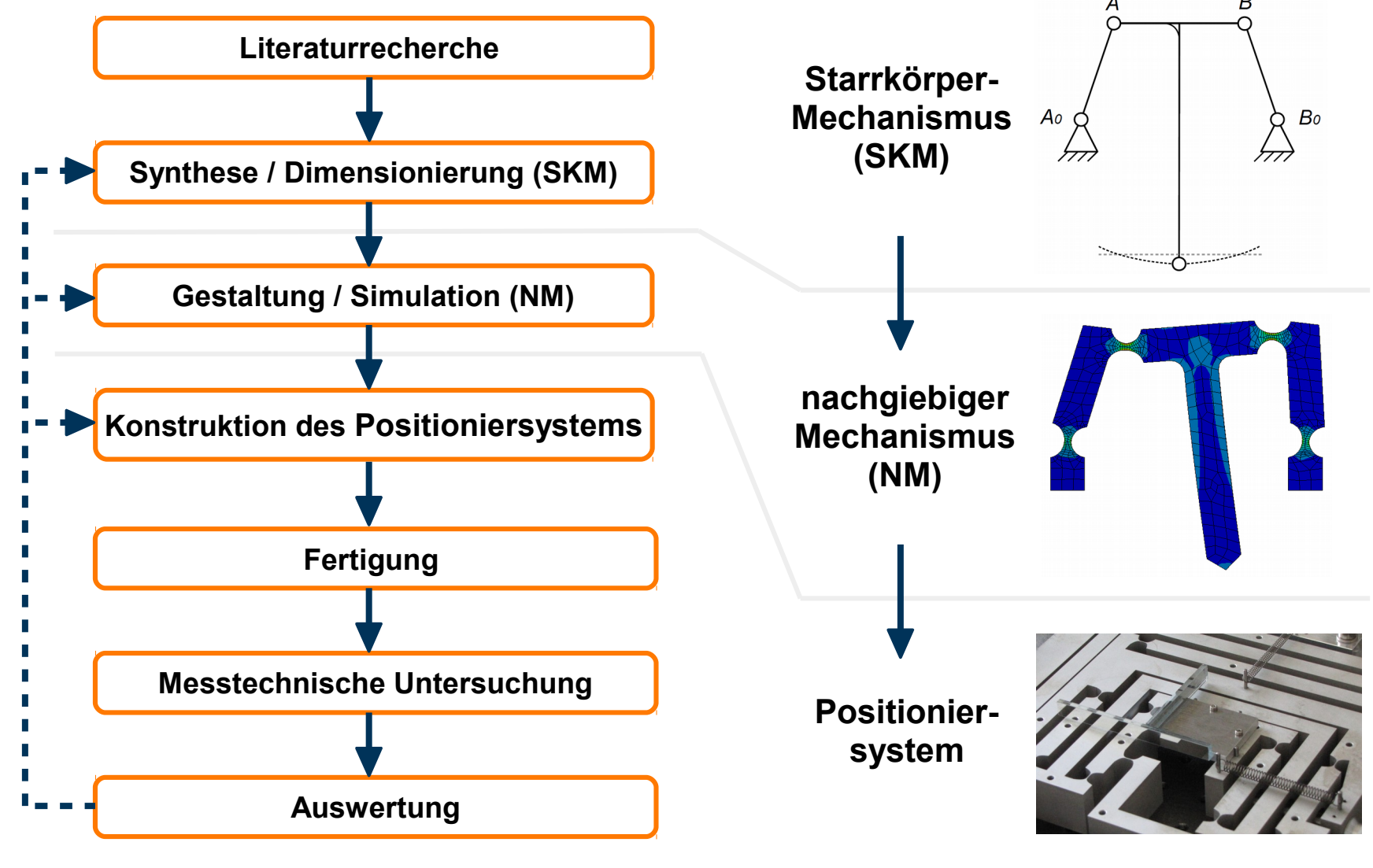


Abb.: Drehachsenverlagerung eines Festkörpergelenkes [5]





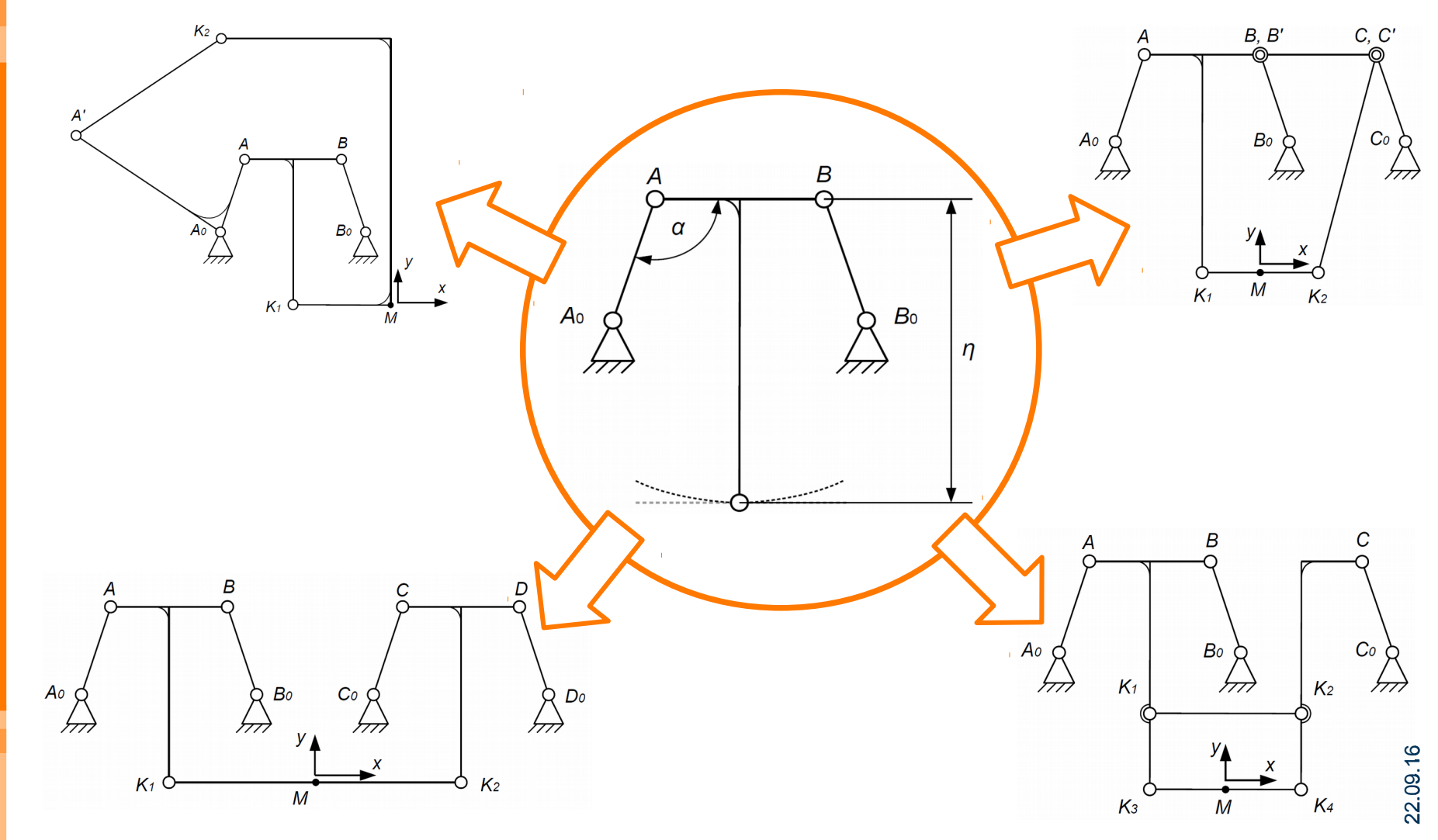
# 3. Vorgehensweise zur Problemlösung







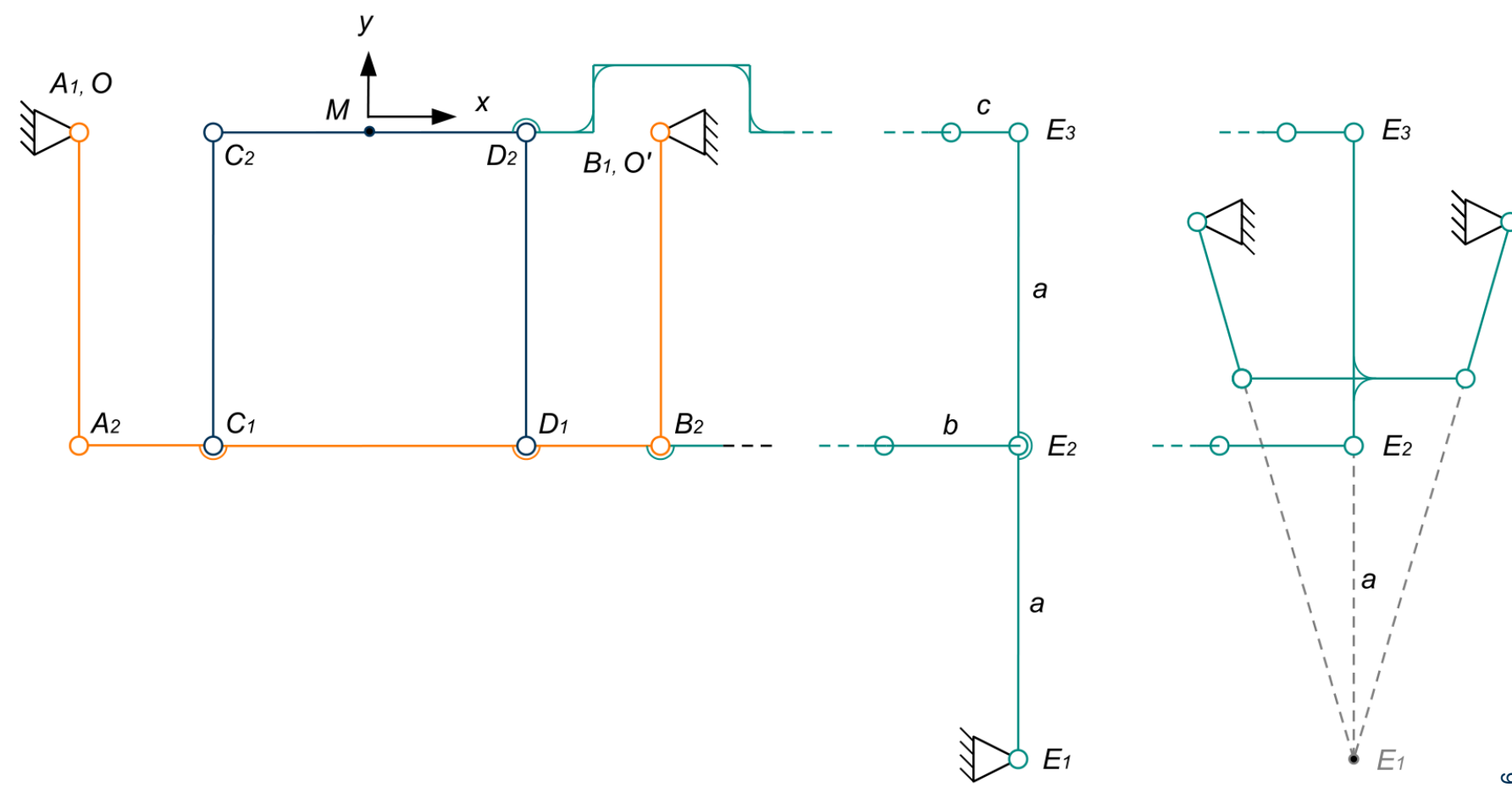
Ansatz I: Geradführung auf Basis von Punktgeradführungen (SKM)







Ansatz II: Geradführung auf Basis von Parallelkurbeln (SKM)



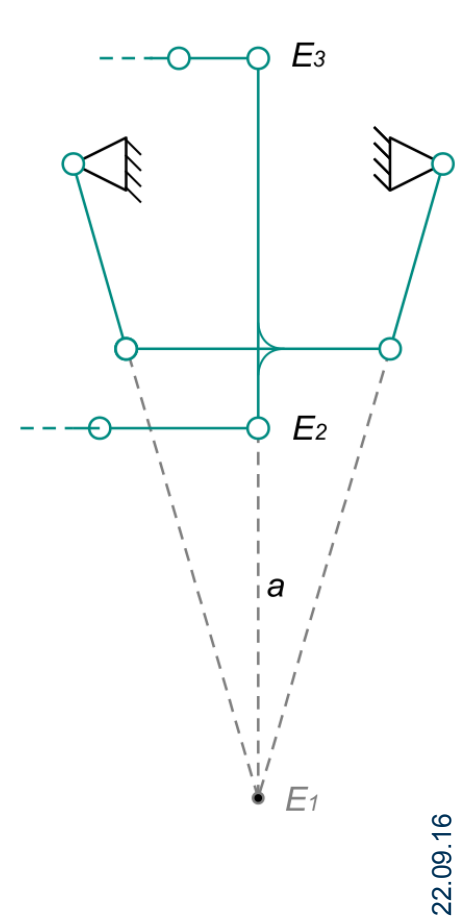
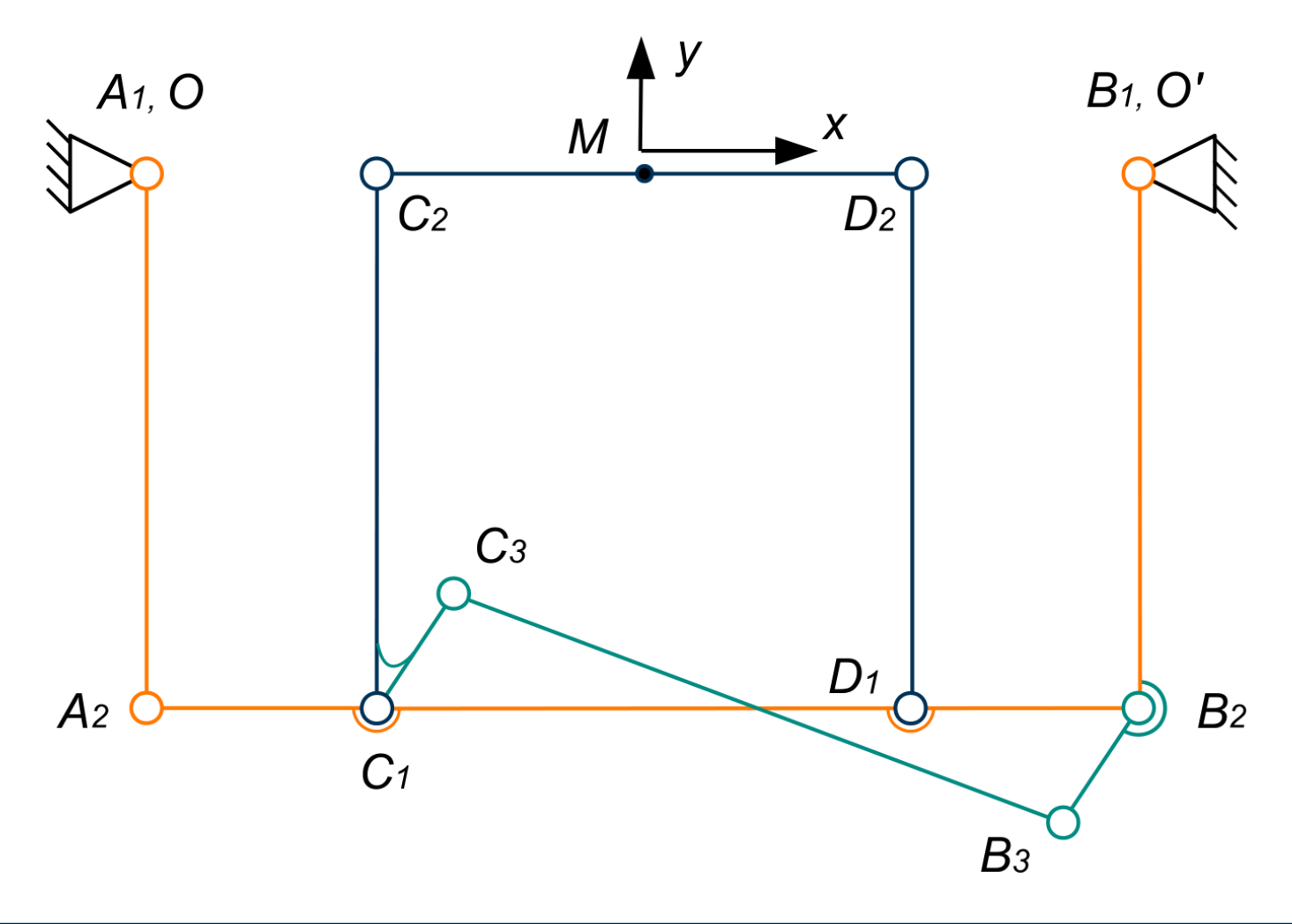


Abb.: bestehende Ansätze nach [1], [6], [7]



Ansatz II: Geradführung auf Basis von Parallelkurbeln (SKM)







#### **Skalierung und Vergleich**

| Nr. | Bezeichnung  | Abbildung (nicht maßstäblich)   | $n_G$ | g | $\Delta y_{ m M}^*$ in $\mu{ m m}$ | $\Delta y_{\mathrm{K}_{1}}^{*}$ in $\mu\mathrm{m}$ | $\Delta y_{\mathrm{K}_2}^*$ in $\mu\mathrm{m}$ | $\Delta \vartheta_{\mathrm{M}}^{*}$ in " | $L_{ m max}$ in mm  | $L_{\min}$ in mm                                | $\sum_{in \text{ mm}} L$ | $A_{ m R}(b\cdot h)$ in mm <sup>2</sup> | krit.<br>Gelenk  |
|-----|--|---|-------|---|------------------------------------|--|--|--|---|---|--------------------------|---|------------------|
| 1   | Parallel-<br>kurbel  | A,K1  | 4     | 4 | -435,608                           | -435,608   | -435,608                                       | 0  | $\begin{array}{c} 115\\ (\overline{A_0A},\\ \overline{B_0B}) \end{array}$ | $\frac{20}{(\overline{AB})}$                    | 250                      | 2300<br>(20 · 115)                      | $A_0, A, B_0, B$ |
| 2   | Kombination<br>gekreuzte<br>Doppel-<br>schwinge u.<br>Hoecken-<br>Lenker | $B' \circ A_0$ $A \circ A_0$ $B \circ A_0$  | 6     | 7 | +18,048                            | +18,048  | +18,048  | 0  | $\frac{430}{(\overline{AK_1}, \overline{B_0B'})}$                         | $\frac{86}{(\overline{A_0A}, B'K_2)}$           | 1204                     | 88752<br>(258 · 344)                    | $A_0, K_2$       |
| 3   | Roberts-<br>Lenker<br>erweitert nach<br>Satz von<br>Roberts              | A B BO MINING MANAGEMENT AND A STATE OF THE | 6     | 7 | -29,390                            | -29,390  | -29,390  | 0  | $(\frac{289,1}{(K_1K_2)})$  | $\frac{87}{(\overline{A_0A}, \overline{B_0B})}$ | 1060,8                   | 80103,2<br>(286, 8·279, 3)              | A                |

→ 13 Mechanismen

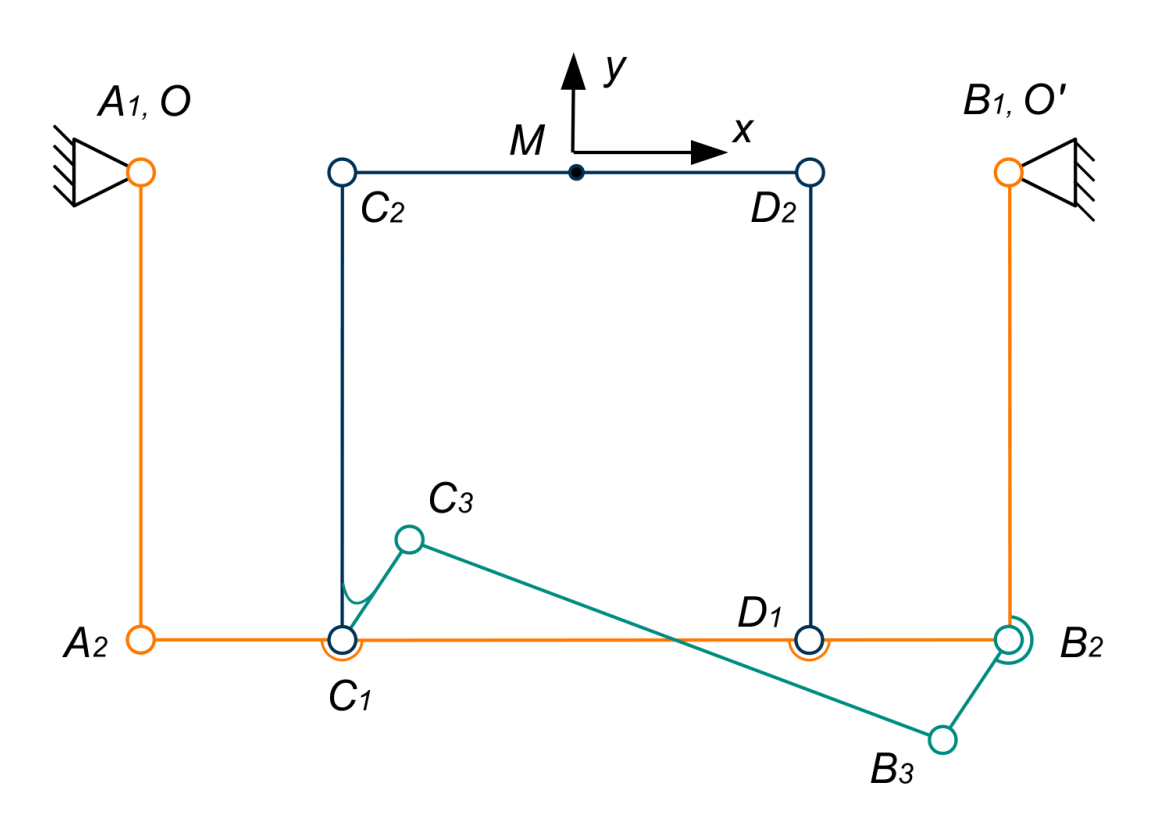




Lösungsauswahl und Optimierung des Teilmechanismus

# Dimensionierung durch Optimierung (GNU Octave):

$$A_1A_2 = B_1B_2 = C_1C_2 =$$
 $D_1D_2 = 60$ mm
 $A_2C_1 = B_2D_1 = 35$ mm
 $B_2B_3 = C_1C_3 = 30$ mm
 $C_1D_1 = C_2D_2 = 65$ mm
 $C_3B_3 = 80$ mm

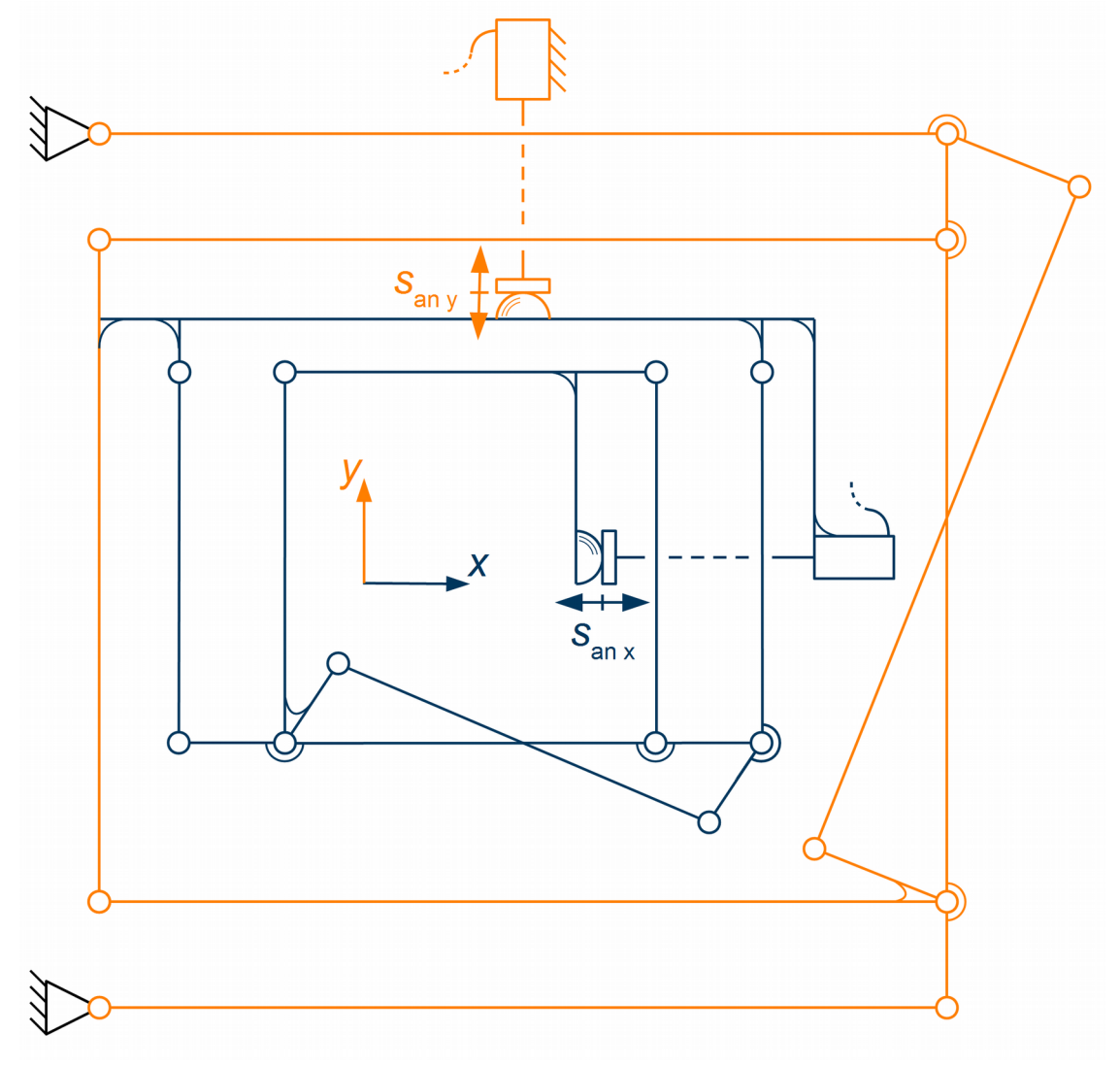


#### Geradführungsabweichungen:

$$|\Delta y (\Delta x=-5mm)| + |\Delta y (\Delta x=5mm)| = 2.8 \text{ nm}$$
  
 $|\Delta y (\Delta x=-10mm)| + |\Delta y (\Delta x=10mm)| = 91.1 \text{ nm}$ 

# 5. Gestaltung und Simulation (NM)

Serielle Kopplung der Teilmechanismen





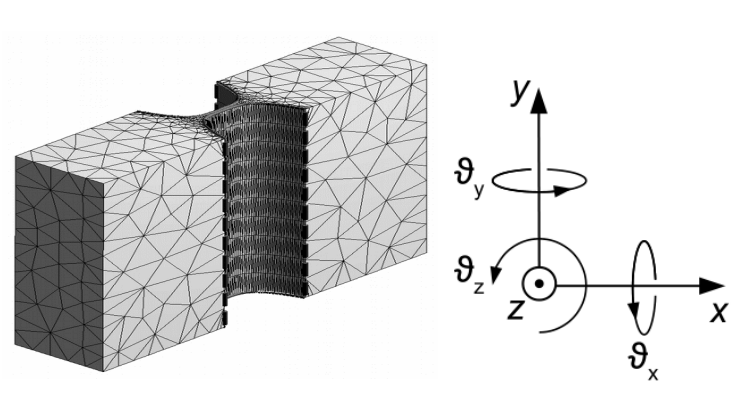


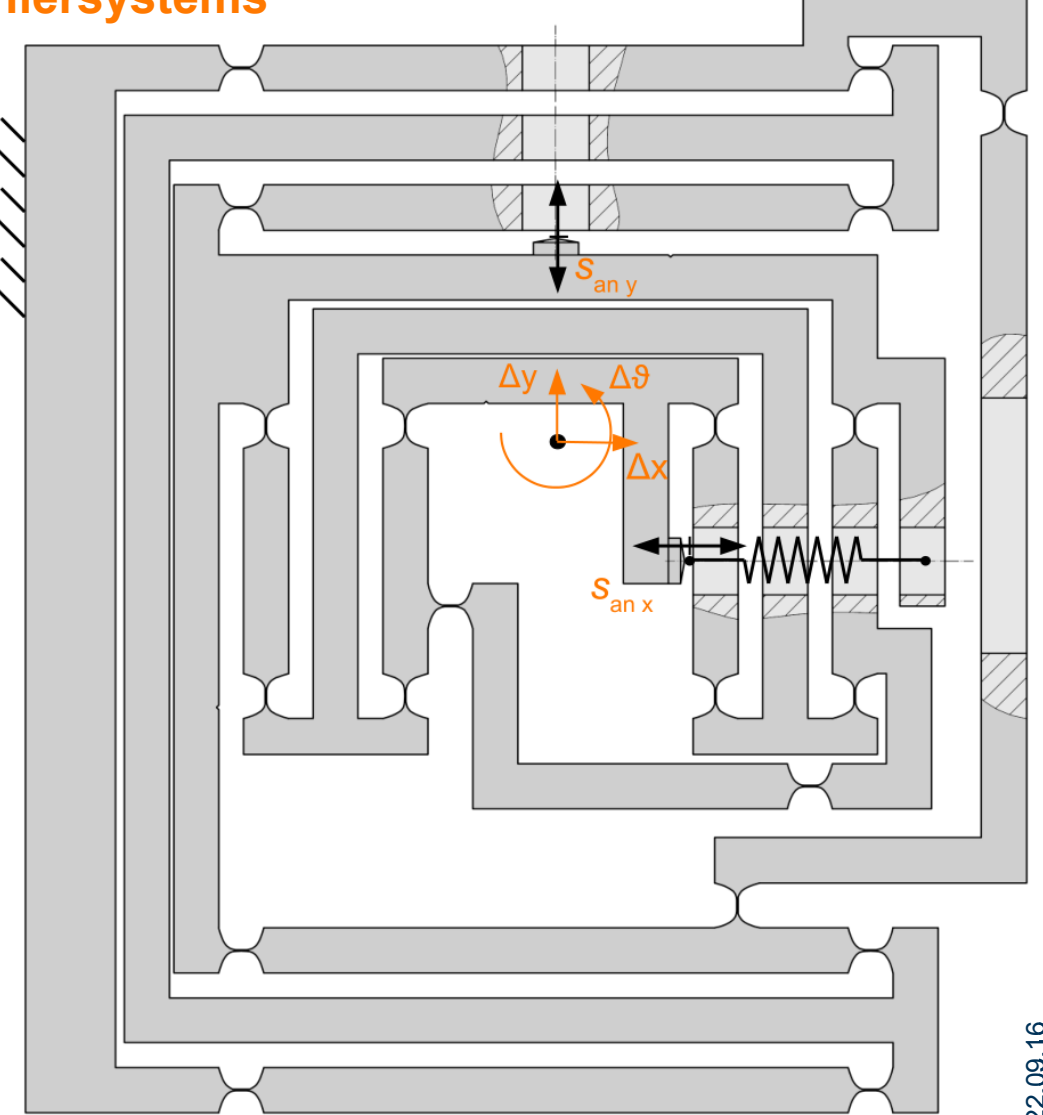
# 5. Gestaltung und Simulation (NM)

**FEM-Simulation des Positioniersystems** 

Untersuchung der Auswirkung des Ortes der Kraft- bzw. Wegeinprägung auf:

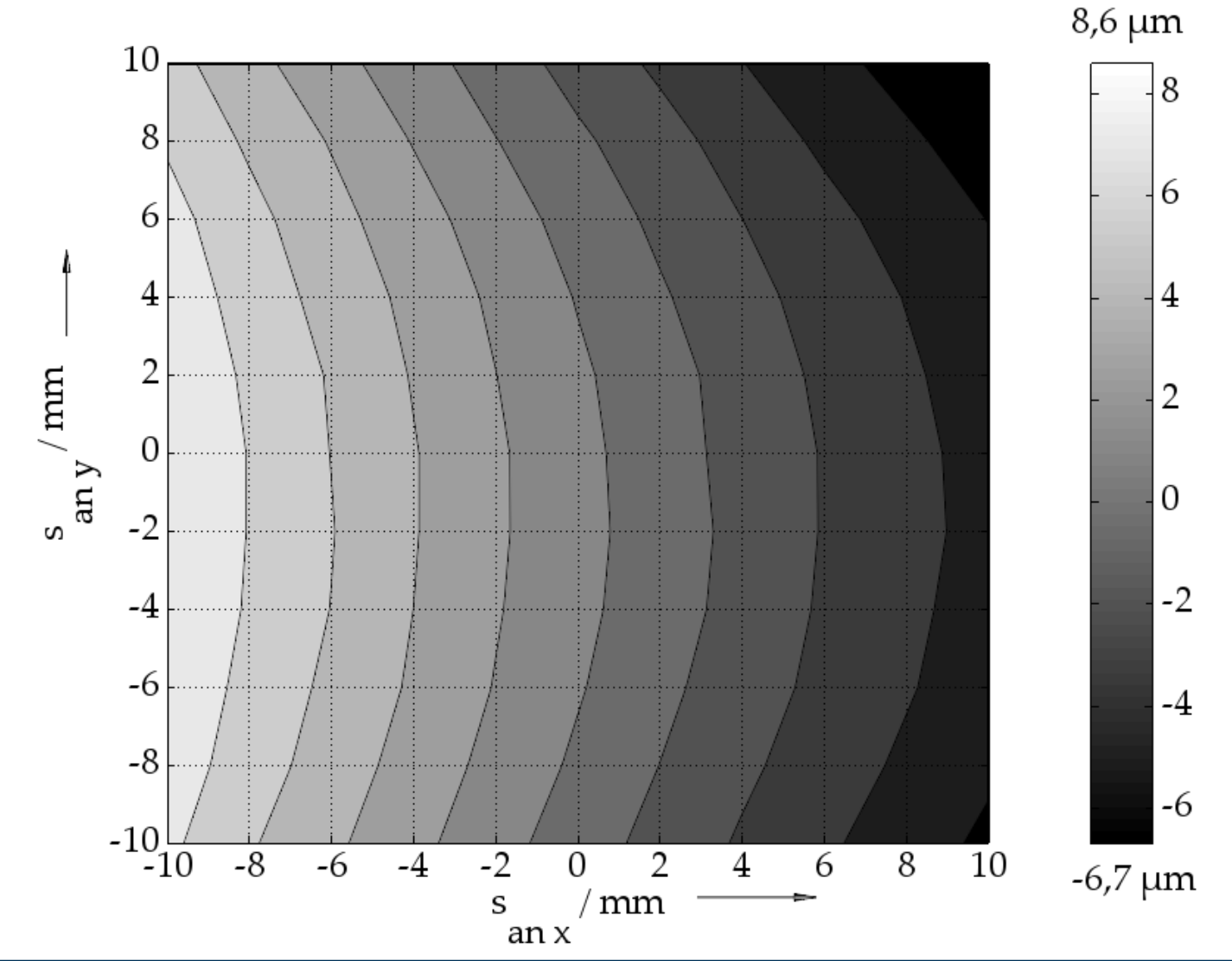
- Verkippabweichung
- Geradführungsabweichung





# 5. Gestaltung und Simulation (NM)

Geradführungsabweichung  $\Delta x$ 

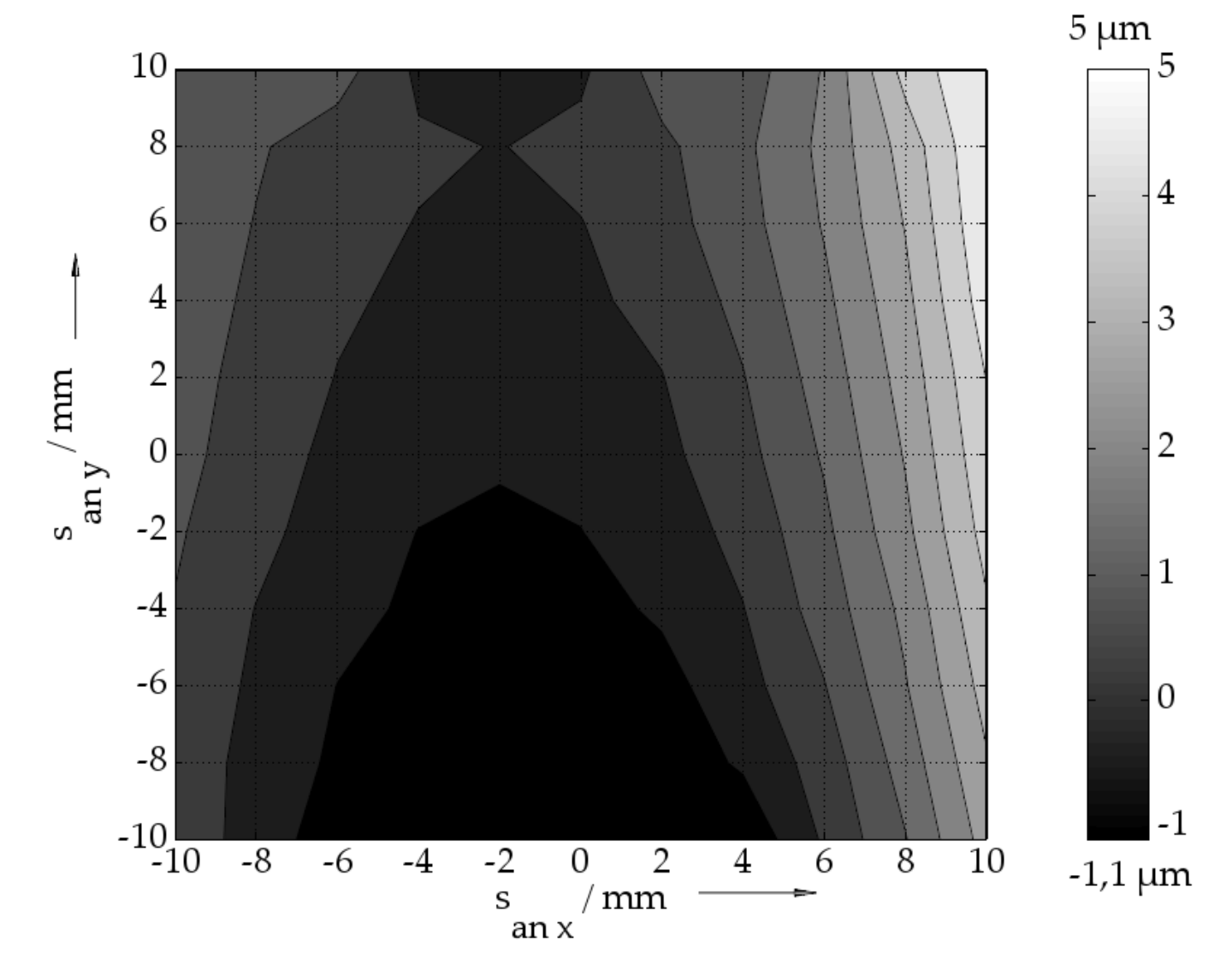






# 5. Gestaltung und Simulation (NM)

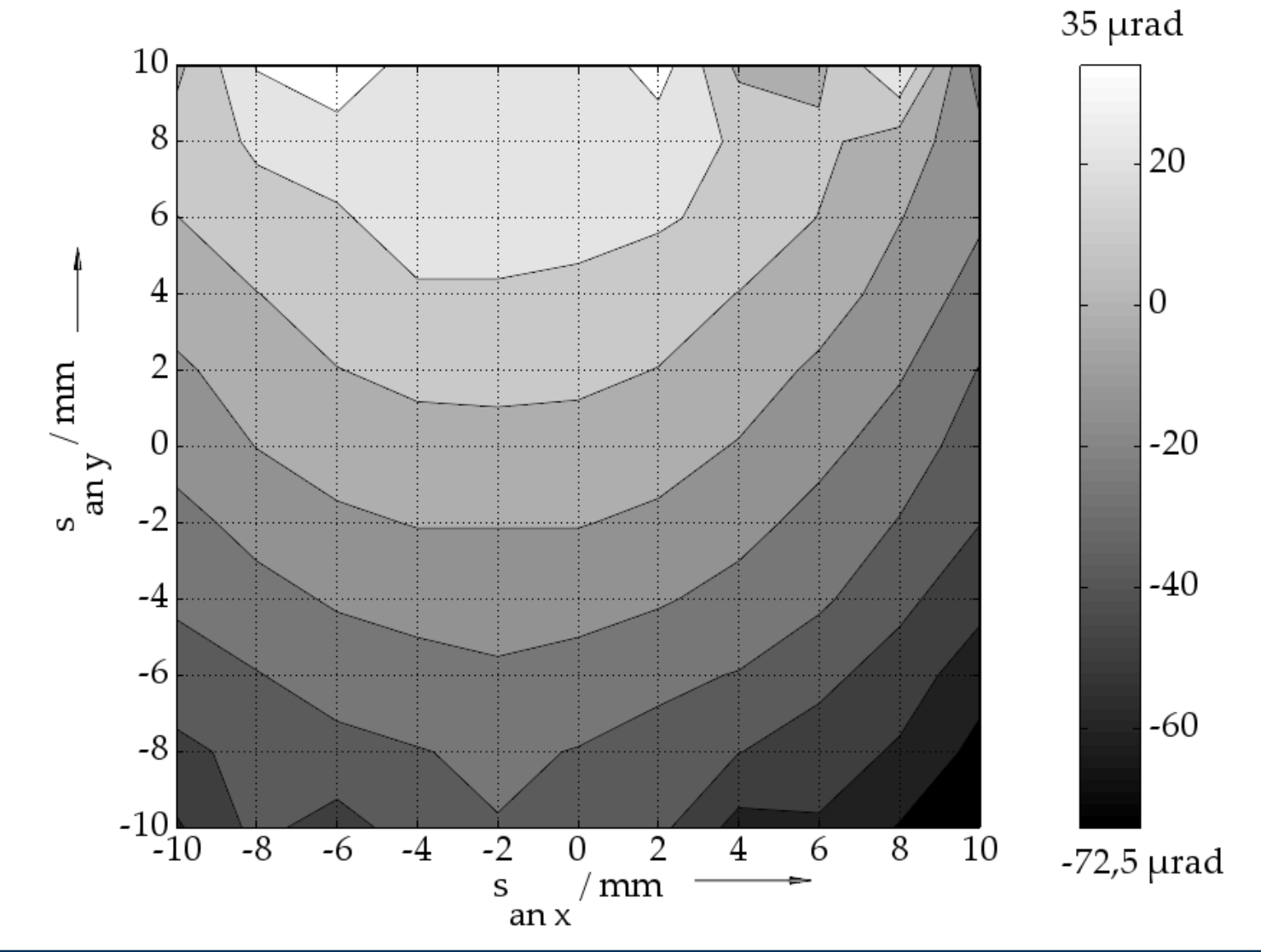
Geradführungsabweichung Δy





### 5. Gestaltung und Simulation (NM)

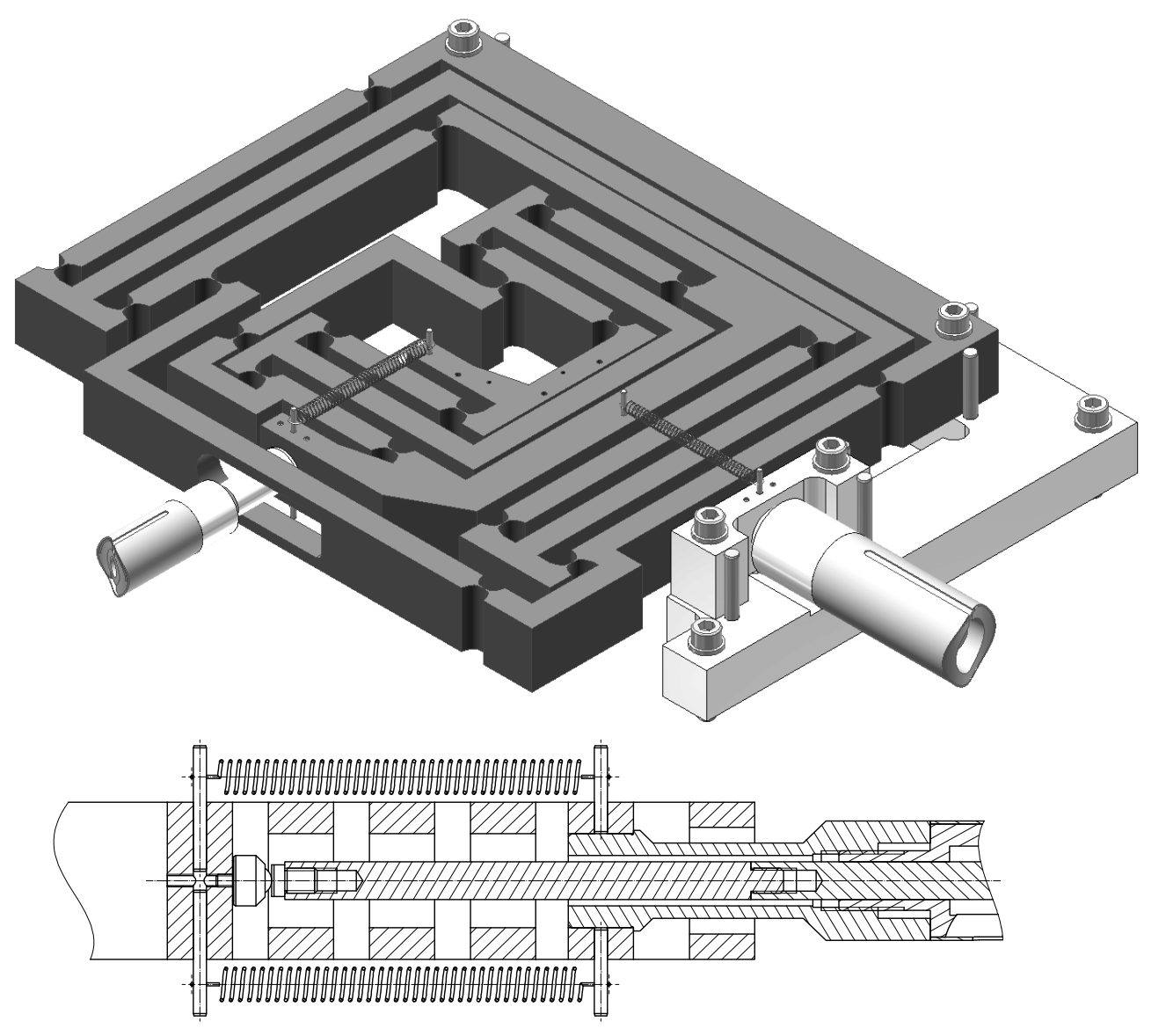
Verkippabweichung Δϑ<sub>z</sub>







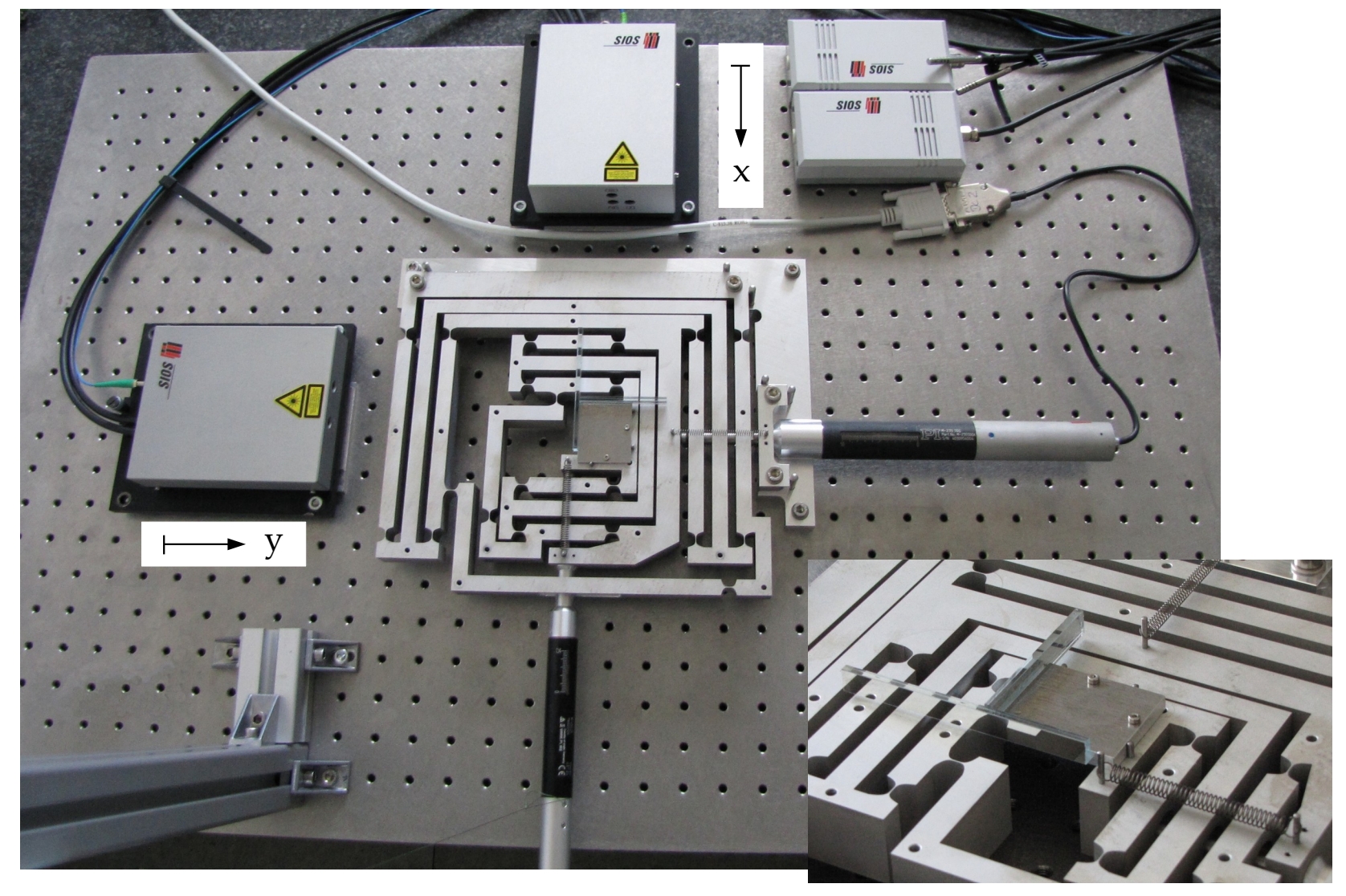
# 6. Konstruktion eines Positioniersystems





# 7. Messtechnische Untersuchung

#### Messaufbau

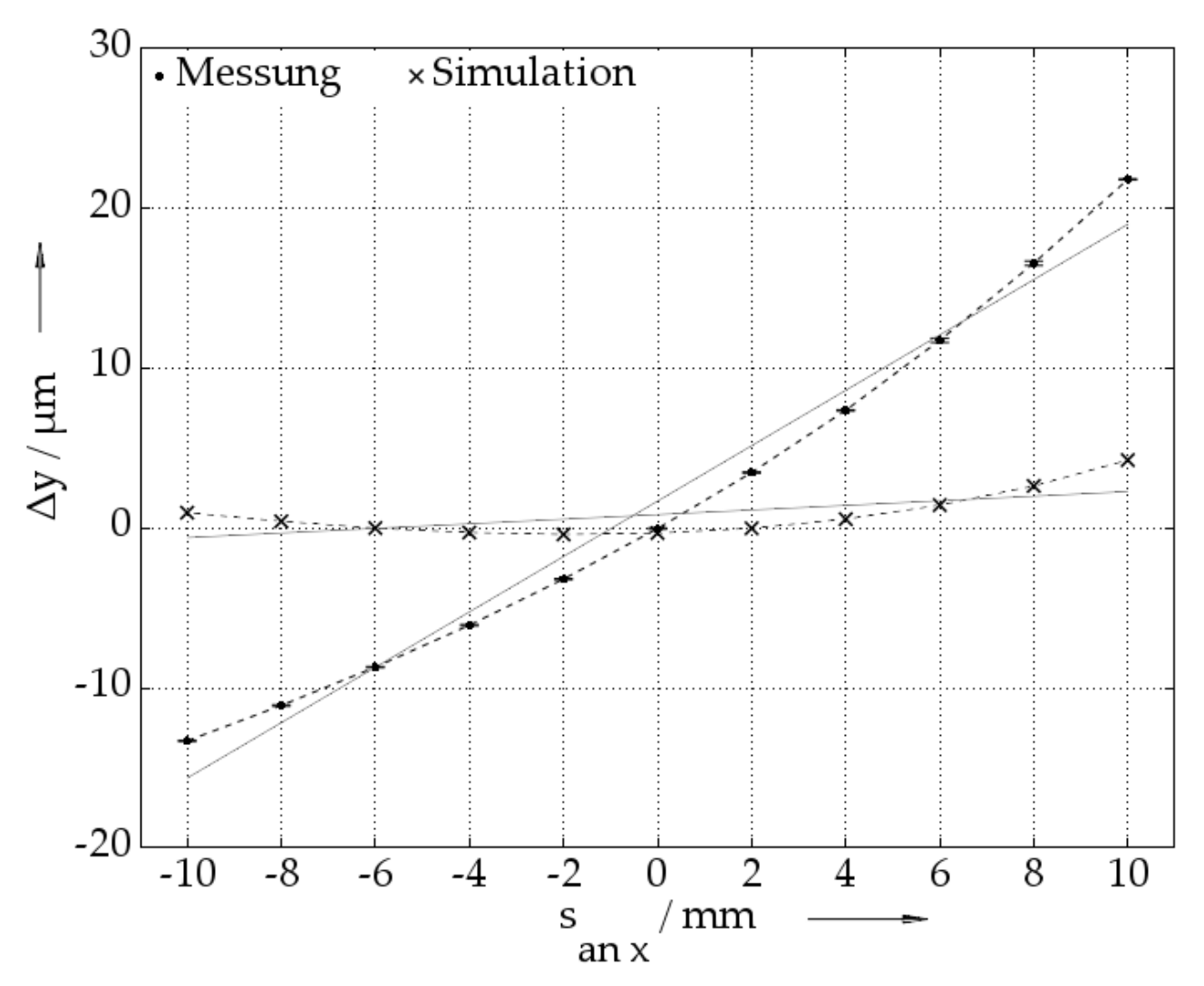






# 7. Messtechnische Untersuchung

Geradführungsabweichung Δy

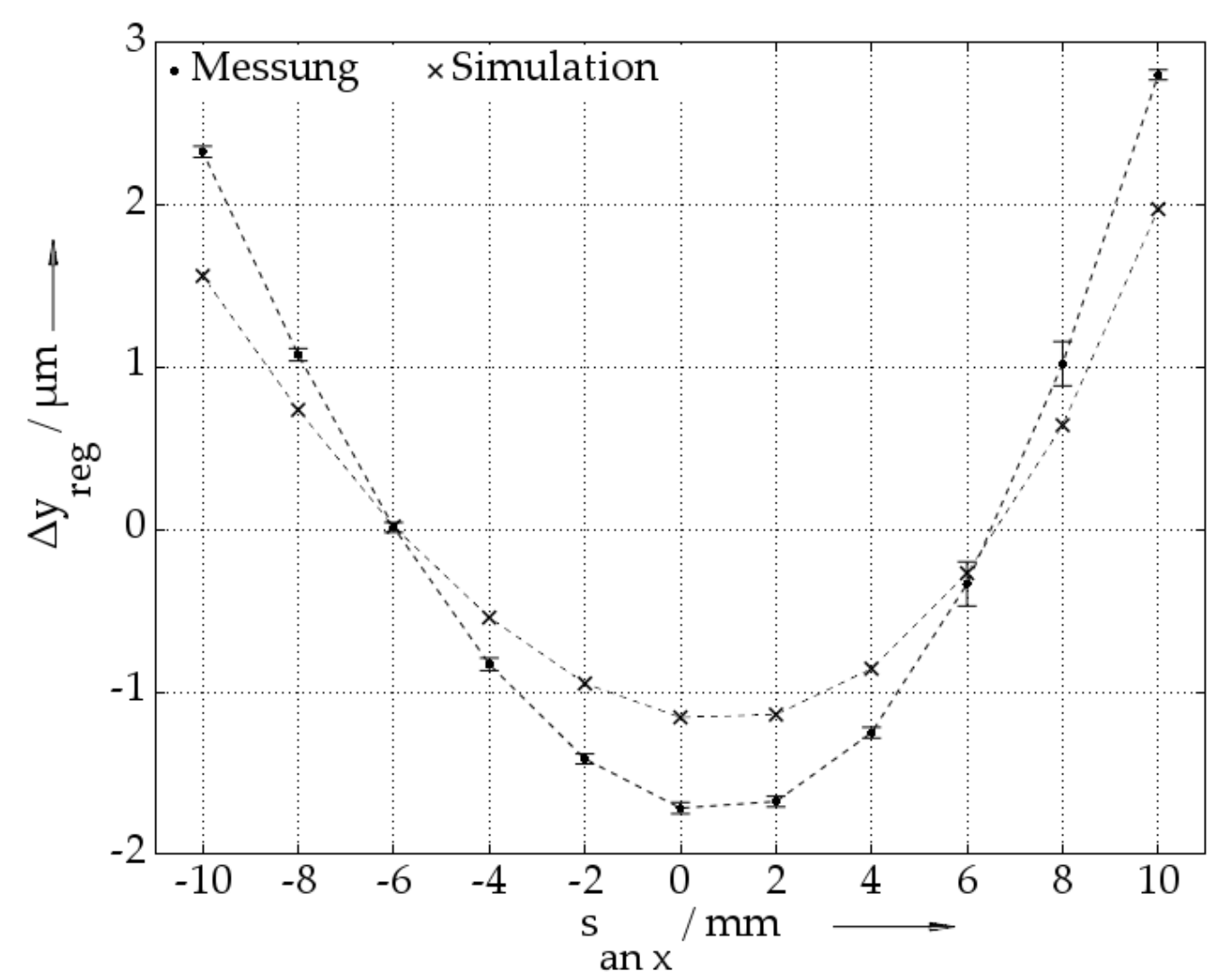






# 7. Messtechnische Untersuchung

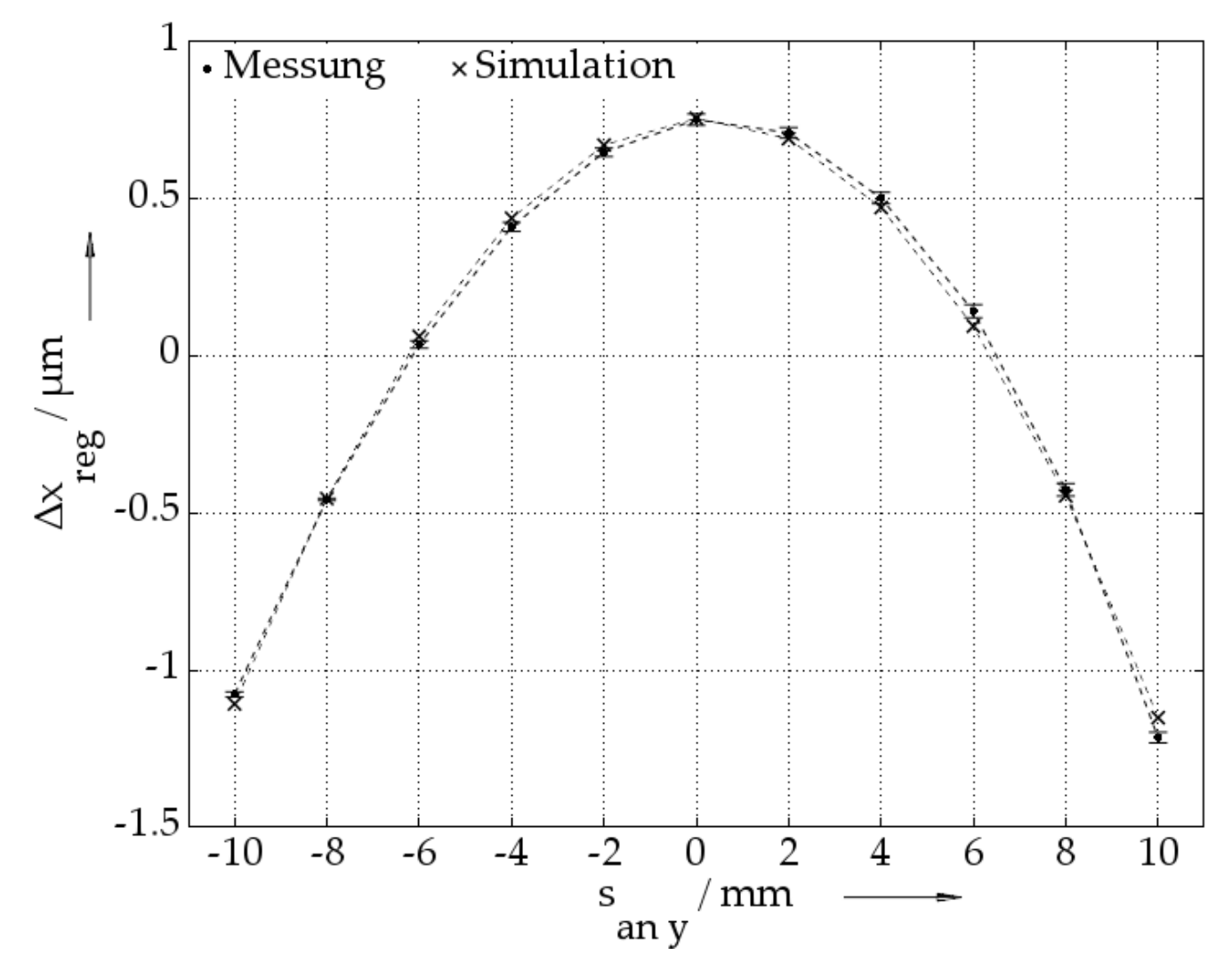
Geradführungsabweichung Δy<sub>reg</sub>





# 7. Messtechnische Untersuchung

Geradführungsabweichung  $\Delta x_{reg}$ 







### 8. Ergebnisse und Zusammenfassung

- Vergleichsmethode zur Bewertung von Starrkörpermechanismen für die Synthese von nachgiebigen Führungsmechanismen
- Übersicht von 13 Starrkörpermechanismen zur Realisierung eines nachgiebigen Mechanismus zur Ebenengeradführung
- Erarbeitung eines neuartigen 10-Gelenk-Mechanismus zur Ebenengeradführung und Optimierung
- Entwicklung eines monolithischen Positioniersystems mit zwei translatorischen Bewegungsachsen (10-Gelenk-Mechanismen)
- Versuchsstand und erste Messungen zur Verifizierung der Simulationsergebnisse

### 9. Ausblick

- Weitere messtechnische Untersuchung des Positioniersystems und Weiterentwicklung des Messaufbaus
- Untersuchen von weiteren Variationen des 10-Gelenk-Mechanismus
- Erarbeitung weiterer Mechanismem zur Realisierung von zwei zusätzlichen rotatorischen Bewegungsachsen
- Erarbeitung von **Optimierungsmethoden und Werkzeugen** (z.B. Softwarepakete) **zur Synthese** von nachgiebigen Mechanismen

### Bildquellen und Verweise

- [1] Henein, Simon: Conception des structures articulées à guidages flexibles de haute Précision. Lausanne, EPFL, Diss, 2000
- [2] Sartorius AG: monolithischen Wägesystemtechnologie https://www.sartorius.de/de/konzern/ueber-sartorius/geschichte/1971-2000/ (01.09.2016)
- [3] Meli, Küng, Thalmann: *Ultrapräzises Koordinatenmessgerät für Mikroteile*. In: *METinfo* 12, 2005, Nr. 3
- [4] Physik Instrumente (PI) GmbH & Co. KG: *Piezo Flexure Linear Stages*https://www.physikinstrumente.com/en/products/linear-stages-and-actuators/piezo-stages/ (01.09.2016)
- [5] Linß, S.: Ein Beitrag zur geometrischen Gestaltung und Optimierung prismatischer Festkörpergelenke in nachgiebigen Koppelmechanismen. Ilmenau, TU Ilmenau, Diss., 2015
- [6] Cosandier, F; Eichenberger, A; Baumann, H: Development and integration of high straightness flexure guiding mechanisms dedicated to the METAS watt balance Mark II. In: Metrologia 51, 2014, Nr. 2
- [7] Panas, Robert M.; Hopkins, Jonathan B.: *Eliminating Underconstraint in Double Parallelogram Flexure Mechanisms*. In: Journal of Mechanical Design 137, 2015, Nr. 9



